

### 3 Espalhamento eletromagnético de Corpos de Revolução

#### 3.1. Introdução

Neste capítulo é apresentada a formulação para o espalhamento eletromagnético por corpos de revolução (BOR – *Bodies of Revolution*) ilustrados de forma genérica na Figura 3.1 e constituídos por material condutor elétrico perfeito (CEP). A formulação é obtida através da utilização das equações integrais do campo elétrico e magnético, EFIE (*Electric Field Integral Equation*) e MFIE (*Magnetic Field Integral Equation*) respectivamente, [40, 84, 87, 90].

Estas equações integrais possuem no seu integrando os parâmetros desconhecidos (densidades de corrente elétrica e magnética) e sua solução é obtida através da aplicação do Método dos Momentos (MoM) que transforma estas equações integrais em um sistema linear de equações algébricas [39, 40].

A simetria axial da estrutura permite que o problema seja resolvido em duas dimensões sobre a geratriz que define o corpo de revolução, minimizando consideravelmente o esforço computacional e possibilitando a análise de estruturas com dimensões elétricas maiores.

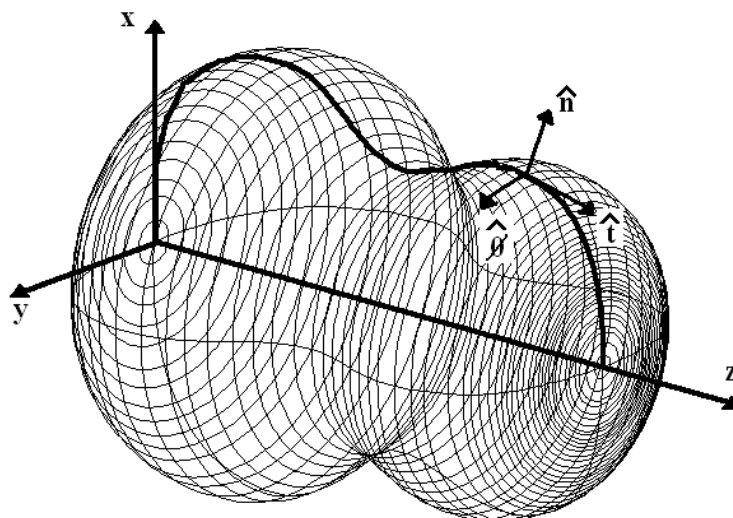


Figura 3.1 – Geometria do BOR, visão espacial.

### 3.2. Geometria do Corpo de Revolução

O BOR é definido pela rotação da sua curva geratriz em torno do seu eixo de simetria definido pelo eixo cartesiano  $z$ , como ilustrado nas Figuras 3.1 e 3.2. A curva geratriz é descrita por  $n$  segmentos de reta, onde cada um possui um sistema de coordenadas local definidos pelos vetores ortonormais  $\hat{n}$ ,  $\hat{t}$  e  $\hat{\phi}$ , sendo  $\hat{n}$  o vetor unitário normal à superfície do BOR,  $\hat{t}$  o vetor tangente à superfície do BOR na direção da curva geratriz e  $\hat{\phi}$  o vetor tangente à superfície do BOR na direção da circunferência, expressos em coordenadas cilíndricas por [40, 90]:

$$\hat{n} = \hat{\phi} \times \hat{t} = \cos u \hat{\rho} - \sin u \hat{z}, \quad (3.1)$$

$$\hat{t} = \sin u \hat{\rho} + \cos u \hat{z}, \quad (3.2)$$

onde  $u$  é o ângulo entre  $\hat{t}$  e  $\hat{z}$ , como ilustrado na Figura 3.2.

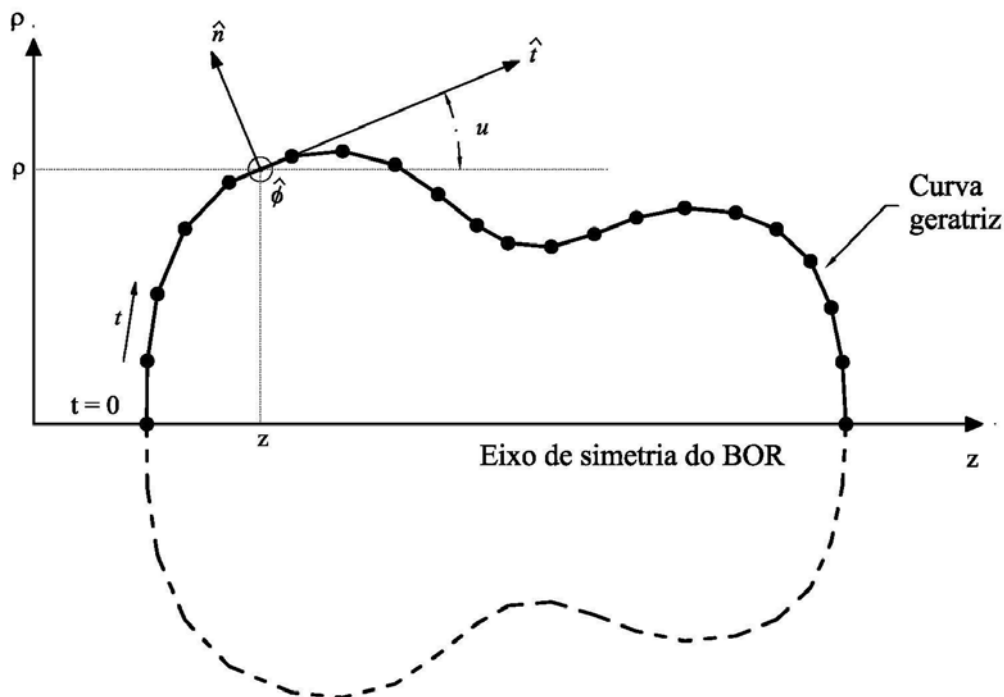


Figura 3.2 – Geometria do BOR, visão longitudinal.

### 3.3. Equações Integrais do Campo Elétrico e do Campo Magnético

Nesta seção é apresentada a formulação das equações integrais de superfície (EFIE e MFIE) para a solução do espalhamento eletromagnético por corpos de revolução (BOR) constituídos por material condutor elétrico perfeito (PEC) e geometria apresentada na Seção 3.1. A Figura 3.3 ilustra de forma genérica a geometria de um BOR formado por uma estrutura coaxial radiante, sendo  $\mu_1, \varepsilon_1$  e  $\mu_0, \varepsilon_0$  os parâmetros constitutivos (permeabilidade magnética e permissividade elétrica, respectivamente) dos meios 1 e 0, respectivamente,  $\vec{J}_1$  e  $\vec{M}_1$  as fontes situadas no interior da estrutura (*meio 1*) provenientes da excitação através de um guia de onda coaxial, e  $A$  a abertura que separa a estrutura interna do espaço livre (*meio 0*).

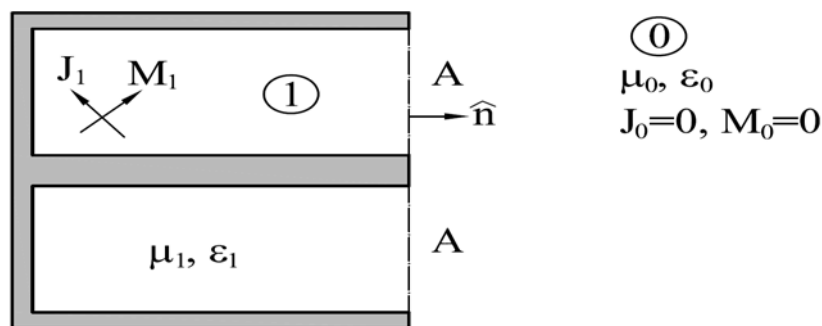


Figura 3.3 – BOR representando uma estrutura coaxial de irradiação.

Como ilustrado na Figura 3.4, a partir da aplicação do princípio da equivalência [84], a parte interna da estrutura coaxial radiante é substituída por um condutor elétrico perfeito (PEC) e, de forma a assegurar as condições de contorno do problema original, é induzida uma corrente superficial equivalente magnética  $\vec{M}_g(\vec{a}^A + \vec{b}^A)$  sobre a abertura expressa por:

$$\vec{M}_g(\vec{a}^A + \vec{b}^A) = -\hat{n} \times \vec{E}^A(\vec{a}^A, \vec{b}^A), \quad (3.3)$$

onde  $\vec{E}^A(\vec{a}^A, \vec{b}^A)$  é o campo elétrico sobre a abertura expresso através da expansão modal dada em (2.1).

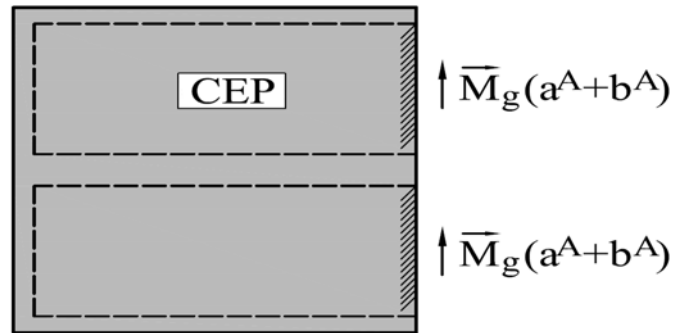


Figura 3.4 – Densidade de corrente magnética induzida sobre a abertura.

Como ilustrado na Figura 3.4, assume-se que o BOR está presente em um espaço linear, homogêneo e isotrópico (geralmente o vácuo). Novamente, conforme ilustrado na Figura 3.5, através da aplicação do princípio da equivalência [84], este problema é substituído por um problema matematicamente equivalente, onde o BOR é retirado e em seu lugar é colocada a corrente superficial equivalente elétrica  $\vec{J}_s$  induzida sobre a superfície do BOR, inclusive sobre a abertura, de forma a assegurar as condições de contorno do problema original.

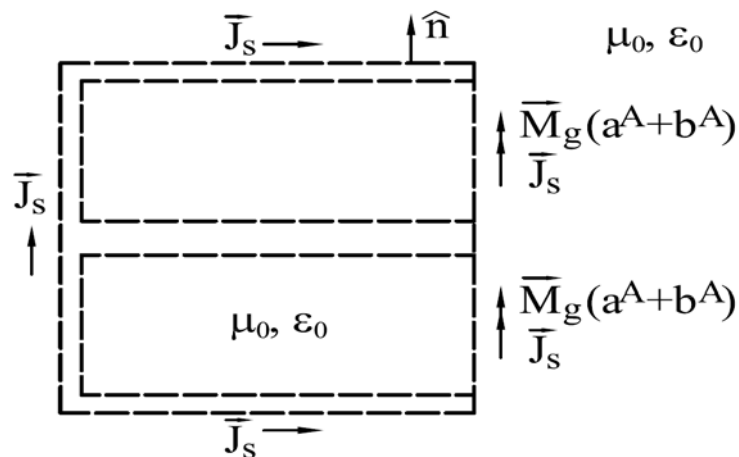


Figura 3.5 – Problema equivalente externo.

Determinado o problema equivalente externo ilustrado na Figura 3.5, onde as correntes equivalentes  $\vec{J}_s$  e  $\vec{M}_g$  estão presentes no mesmo espaço (meio 0), porém agora livres de obstáculos, os campos eletromagnéticos radiados pela abertura no meio 0 são dadas por [88]:

$$\frac{\vec{E}(\vec{r})}{\Gamma(\vec{r})} = -\frac{j}{4\pi} \left\{ \int_{s'} \left[ \omega\mu_0 \vec{J}_s(\vec{r}') \Psi_0(\vec{r}, \vec{r}') - \frac{1}{\omega\epsilon_0} \nabla' \cdot \vec{J}_s(\vec{r}') \nabla' \Psi_0(\vec{r}, \vec{r}') \right] ds' + \right. \\ \left. j \int_A \left[ \vec{M}_g(\vec{a}^A + \vec{b}^A) \times \nabla' \Psi_0(\vec{r}, \vec{r}') \right] ds' \right\}, \quad (3.4)$$

$$\frac{\vec{H}^A(\vec{a}^A, \vec{b}^A)}{\Gamma(\vec{r})} = -\frac{j}{4\pi} \left\{ j \int_{s'} \left[ \vec{J}_s(\vec{r}') \times \nabla' \Psi_0(\vec{r}, \vec{r}') \right] ds' - \right. \\ \left. \int_A \left[ \omega\epsilon_0 \vec{M}_g(\vec{a}^A + \vec{b}^A) \Psi_0(\vec{r}, \vec{r}') - \frac{1}{\omega\mu_0} \nabla' \cdot \vec{M}_g(\vec{a}^A + \vec{b}^A) \nabla' \Psi_0(\vec{r}, \vec{r}') \right] ds' \right\}, \quad (3.5)$$

sendo

$$\Psi_0 = \frac{e^{-jk_0 R}}{R}, \quad (3.6)$$

$$R = |\vec{r} - \vec{r}'|, \quad (3.7)$$

$$k_0 = \omega \sqrt{\mu_0 \epsilon_0}, \quad (3.8)$$

onde  $A$  denota a integração sobre a abertura,  $\vec{J}_s(\vec{r}')$  é a densidade de corrente elétrica induzida na superfície,  $\vec{M}_g(\vec{a}^A + \vec{b}^A)$  é a densidade de corrente magnética induzida sobre a abertura, dada pela equação (3.3).

Considerando que o eixo de simetria do BOR é o eixo Cartesiano  $z$ , o vetor unitário normal à abertura será o vetor  $\hat{i}_z$ ,  $\hat{n}_A = \hat{i}_z$ , e o campo elétrico modal só possui componente  $\hat{i}_\rho$ , tanto para o modo TEM quanto para os modos TM, a equação (3.3) pode ser expressa por:

$$\vec{M}_g(\vec{a}^A + \vec{b}^A) = -\sum_{l=1}^{N_M} (a_l^A + b_l^A) \{e_l \hat{i}_\phi\} = \sum_{l=1}^{N_M} M_l \vec{m}_l, \quad (3.9)$$

onde  $N_M$  é o número de modos considerados sobre a abertura,  $a_l^A$  e  $b_l^A$  são as amplitudes dos modos incidentes e refletidos na abertura, respectivamente,  $e_l$  representa a componente de campo elétrico modal, e

$$M_l = -(a_l^A + b_l^A), \quad (3.10)$$

$$\vec{m}_l = e_l \hat{i}_\phi. \quad (3.11)$$

Nas equações (3.4) e (3.5),  $\Gamma(\vec{r})$  é um parâmetro que ajusta estas equações em função do ponto de observação. Este parâmetro é necessário, pois, para a determinação dos campos dentro ou fora da região limitada pela superfície  $S$  do BOR, as integrais (3.4) e (3.5) fornecem exatamente os valores de  $\vec{E}$  e  $\vec{H}$ . Porém, se o cálculo for realizado exatamente sobre a superfície  $S$  então as equações integrais fornecem a metade dos valores de  $\vec{E}$  e  $\vec{H}$  [88]. Logo, defini-se o parâmetro  $\Gamma(\vec{r})$  como

$$\Gamma(\vec{r}) = \begin{cases} 2, & \text{se } \vec{r} \in S \\ 1, & \text{se } \vec{r} \notin S \end{cases} \quad (3.12)$$

desde que  $S$  seja suave. Caso  $S$  possua descontinuidades na curvatura,  $\Gamma(\vec{r})$  é definido em função do ângulo sólido no ponto em  $S$  onde os campos são calculados [88].

As equações integrais do campo elétrico e magnético são obtidas através da imposição das condições de contorno sobre as componentes tangenciais dos campos na interface  $S$  na forma tangencial. Assumindo que a interface  $S$  seja suave, ou seja,  $\Gamma(\vec{r}) = 2$ , tem-se [88]:

$$\begin{aligned} & -\hat{n} \times \frac{\vec{M}_g(\vec{a}^A + \vec{b}^A)}{2} = \\ & -\frac{j\eta_0}{4\pi k_0} \hat{n} \times \hat{n} \times \int_{s'} \left[ k_0^2 \vec{J}_s(\vec{r}') \Psi_0(\vec{r}, \vec{r}') - \nabla' \cdot \vec{J}_s(\vec{r}') \nabla' \Psi_0(\vec{r}, \vec{r}') \right] ds' \quad (3.13) \\ & + \frac{1}{4\pi} \hat{n} \times \hat{n} \times \int_A \left[ \vec{M}_g(\vec{a}^A + \vec{b}^A) \times \nabla' \Psi_0(\vec{r}, \vec{r}') \right] ds' \end{aligned}$$

$$\begin{aligned} \hat{n} \times \hat{n} \times \frac{\vec{H}^A(\vec{a}^A, \vec{b}^A)}{2} &= \frac{1}{4\pi} \hat{n} \times \hat{n} \times \int_{s'} \left[ \vec{J}_s(\vec{r}') \times \nabla' \Psi_0(\vec{r}, \vec{r}') \right] ds' \\ &+ \frac{j}{4\pi k_0 \eta_0} \hat{n} \times \hat{n} \times \int_A \left[ k_0^2 \vec{M}_g(\vec{a}^A + \vec{b}^A) \Psi_0(\vec{r}, \vec{r}') \right. \\ &\quad \left. - \nabla' \cdot \vec{M}_g(\vec{a}^A + \vec{b}^A) \nabla' \Psi_0(\vec{r}, \vec{r}') \right] ds' \quad (3.14) \end{aligned}$$

onde  $\eta_0$  é a impedância intrínseca do espaço livre, expressa por:

$$\eta_0 = \sqrt{\frac{\mu_0}{\epsilon_0}} \quad (3.15)$$

É escolhida a forma tangencial, pois o processo de remoção da componente normal do campo não provoca mudança na direção das componentes  $t$  e  $\phi$ , o que ocorre na forma normal.

### 3.4. Método dos Momentos

A solução numérica do espalhamento eletromagnético por BOR condutor elétrico perfeito (PEC) será obtida aplicando-se o Método dos Momentos (MoM) às equações integrais do campo elétrico e magnético, EFIE e MFIE, respectivamente, apresentadas na Seção 3.3.

O MoM é uma técnica que permite a solução destas equações integrais que possuem no seu integrando os parâmetros desconhecidos (densidades de corrente elétrica e magnética) transformando-as em um sistema linear de equações algébricas [39, 40, 88].

#### 3.4.1. Equação matricial

Para transformar as equações integrais (3.13) e (3.14) em um sistema linear de equações algébricas, as densidades de corrente equivalente elétrica  $\vec{J}_s(\vec{r}')$  e magnética  $\vec{M}_g(\vec{a}^A + \vec{b}^A)$  devem ser representadas por uma soma finita de funções de base conhecidas,  $\vec{J}_j(\vec{r}')$  e  $\vec{M}_k(\vec{r})$ , multiplicadas por coeficientes desconhecidos,  $I_j$  e  $M_l$ . Logo a densidade de corrente elétrica pode ser expressa por:

$$\vec{J}_s(\vec{r}') = \sum_{j=1}^{N_j} I_j \vec{J}_j(\vec{r}'), \quad (3.16)$$

onde  $N_j$  é o número total de funções de base da densidade de corrente elétrica  $\vec{J}_j(\vec{r}')$  induzida sobre toda a superfície  $S$ .

A densidade de corrente magnética dada pela equação (3.9) pode ser representada por:

$$\vec{M}_g(\vec{a}^A + \vec{b}^A) = \sum_{l=1}^{N_M} M_l \sum_{k=1}^{N_A} B_{lk} \vec{M}_k(\vec{r}'), \quad (3.17)$$

sendo  $M_l$  dado em (3.10) e  $\vec{m}_l$  expresso agora em termos das funções de base, por:

$$\vec{m}_l = e_l \hat{i}_\phi = \sum_{k=1}^{N_A} B_{lk} \vec{M}_k(\vec{r}'), \quad (3.18)$$

onde  $N_A$  é o número de funções de base da densidade de corrente magnética  $\vec{M}_k(\vec{r})$  impressa somente sobre a abertura,  $B_{lk}$  é o coeficiente da expansão modal para o modo  $l$  e elemento  $k$  da abertura, situado a  $\rho_k$  do eixo de simetria do BOR.

As funções de base das densidades de corrente elétrica  $\vec{J}_j(\vec{r}')$  e magnética  $\vec{M}_k(\vec{r})$  devem ser cuidadosamente escolhidas para que o comportamento eletromagnético das correntes na superfície do BOR seja corretamente representado e serão abordadas na Seção 3.5.

Substituindo (3.16) e (3.17) em (3.13) e (3.14), tem-se:

$$\begin{aligned} \frac{j\eta_0}{4\pi k_0} \sum_{j=1}^{N_j} I_j \left\{ \hat{n} \times \hat{n} \times \int_{s'} \left[ k_0^2 \vec{J}_j(\vec{r}') \Psi_0(\vec{r}, \vec{r}') - \nabla' \cdot \vec{J}_j(\vec{r}') \nabla' \Psi_0(\vec{r}, \vec{r}') \right] ds' \right\} = \\ \frac{1}{2} \sum_{l=1}^{N_M} M_l \sum_{k=1}^{N_A} B_{lk} \left[ \hat{n} \times \vec{M}_k(\vec{r}) \right] \\ + \frac{1}{4\pi} \sum_{l=1}^{N_M} M_l \sum_{k=1}^{N_A} B_{lk} \left\{ \hat{n} \times \hat{n} \times \int_A \left[ \vec{M}_k(\vec{r}') \times \nabla' \Psi_0(\vec{r}, \vec{r}') \right] ds' \right\}, \end{aligned} \quad (3.19)$$

$$\begin{aligned} \hat{n} \times \hat{n} \times \frac{\vec{H}^A(\vec{a}^A, \vec{b}^A)}{2} = & \frac{1}{4\pi} \sum_{j=1}^{N_j} I_j \left\{ \hat{n} \times \hat{n} \times \int_{s'} \left[ \vec{J}_j(\vec{r}') \times \nabla' \Psi_0(\vec{r}, \vec{r}') \right] ds' \right\} \\ & + \frac{j}{4\pi k_0 \eta_0} \sum_{l=1}^{N_M} M_l \sum_{k=1}^{N_A} B_{lk} \left\{ \hat{n} \times \hat{n} \times \int_A \left[ k_0^2 \vec{M}_k(\vec{r}') \Psi_0(\vec{r}, \vec{r}') \right. \right. \\ & \left. \left. - \nabla' \cdot \vec{M}_k(\vec{r}') \nabla' \Psi_0(\vec{r}, \vec{r}') \right] ds' \right\}. \end{aligned} \quad (3.20)$$

Para simplificar a notação, serão definidos os operadores:

$$K_0(\vec{X}(\vec{r}')) = \int_{s'} \left[ k_0^2 \vec{X}(\vec{r}') \Psi_0(\vec{r}, \vec{r}') - \nabla' \cdot \vec{X}(\vec{r}') \nabla' \Psi_0(\vec{r}, \vec{r}') \right] ds', \quad (3.21)$$

$$L_0(\vec{X}(\vec{r}')) = \int_{s'} \left[ \vec{X}(\vec{r}') \times \nabla' \Psi_0(\vec{r}, \vec{r}') \right] ds'. \quad (3.22)$$

Logo, as equações (3.19) e (3.20) podem ser expressas por:

$$\begin{aligned} \frac{j\eta_0}{4\pi k_0} \sum_{j=1}^{N_j} I_j \left[ \hat{n} \times \hat{n} \times K_0(\vec{J}_j(\vec{r}')) \right] = & \frac{1}{2} \sum_{l=1}^{N_M} M_l \sum_{k=1}^{N_A} B_{lk} \left[ \hat{n} \times \vec{M}_k(\vec{r}') \right] \\ & + \frac{1}{4\pi} \sum_{l=1}^{N_M} M_l \sum_{k=1}^{N_A} B_{lk} \left[ \hat{n} \times \hat{n} \times L_0(\vec{M}_k(\vec{r}')) \right], \end{aligned} \quad (3.23)$$

$$\begin{aligned} \hat{n} \times \hat{n} \times \frac{\vec{H}^A(\vec{a}^A, \vec{b}^A)}{2} = & \frac{1}{4\pi} \sum_{j=1}^{N_j} I_j \left[ \hat{n} \times \hat{n} \times L_0(\vec{J}_j(\vec{r}')) \right] \\ & + \frac{j}{4\pi k_0 \eta_0} \sum_{l=1}^{N_M} M_l \sum_{k=1}^{N_A} B_{lk} \left[ \hat{n} \times \hat{n} \times K_0(\vec{M}_k(\vec{r}')) \right]. \end{aligned} \quad (3.24)$$

Para obter os coeficientes  $I_j$  e  $M_l$  é aplicado o produto escalar das funções de teste  $\vec{W}_i(\vec{r})$  e  $\vec{m}_l$  em ambos os lados das equações (3.23) e (3.24), respectivamente. Posteriormente, para a EFIE expressa pela equação (3.23), é resolvida a integral sobre a superfície  $S$  do BOR e, para a MFIE expressa pela equação (3.24), é resolvida a integral sobre a abertura do BOR, ambas referentes às coordenadas de observação [39, 88]. Logo, tem-se:

$$\begin{aligned}
& \frac{j\eta_0}{4\pi k_0} \sum_{j=1}^{N_j} I_j \left\{ \int_s \vec{W}_i \cdot \left[ \hat{n} \times \hat{n} \times K_0(\vec{J}_j(\vec{r}')) \right] ds \right\} = \\
& \frac{1}{2} \sum_{l=1}^{N_M} M_l \sum_{k=1}^{N_A} B_{lk} \left\{ \int_s \vec{W}_i \cdot \left[ \hat{n} \times \vec{M}_k(\vec{r}) \right] ds \right\} \\
& + \frac{1}{4\pi} \sum_{l=1}^{N_M} M_l \sum_{k=1}^{N_A} B_{lk} \left\{ \int_s \vec{W}_i \cdot \left[ \hat{n} \times \hat{n} \times L_0(\vec{M}_k(\vec{r}')) \right] ds \right\},
\end{aligned} \tag{3.25}$$

$$\begin{aligned}
& \frac{1}{2} \int_A \vec{m}_l \cdot \left[ \hat{n} \times \hat{n} \times \vec{H}^A(\vec{a}^A, \vec{b}^A) \right] ds = \\
& \frac{1}{4\pi} \sum_{j=1}^{N_j} B_{lq} \left\{ \int_A \vec{W}_q(\vec{r}) \cdot \left[ \hat{n} \times \hat{n} \times L_0(\vec{J}_j(\vec{r}')) \right] ds \right\} I_j \\
& + \frac{j}{4\pi k_0 \eta_0} \sum_{l=1}^{N_M} \sum_{k=1}^{N_A} B_{lq} \left\{ \int_A \vec{W}_q(\vec{r}) \cdot \left[ \hat{n} \times \hat{n} \times K_0(\vec{M}_k(\vec{r}')) \right] ds \right\} B_{kl} M_l.
\end{aligned} \tag{3.26}$$

Para o lado direito da equação (3.26),  $\vec{m}_l$  é expresso em termos das funções de teste dado pela equação (3.18), já para o lado esquerdo  $\vec{m}_l$  será dado pela equação (3.11) e o tratamento desta integral será apresentado mais adiante. Considerando que:

$$\nabla' \Psi = -\nabla \Psi, \tag{3.27}$$

e utilizando as identidades vetoriais:

$$\begin{aligned}
\vec{A} \cdot \left[ \hat{n} \times \hat{n} \times \vec{B} \right] &= \vec{A} \cdot \left[ (\hat{n} \cdot \vec{B}) \hat{n} - (\hat{n} \cdot \hat{n}) \vec{B} \right] = \\
& (\vec{A} \cdot \hat{n}) (\hat{n} \cdot \vec{B}) - \vec{A} \cdot \vec{B} = -\vec{A} \cdot \vec{B},
\end{aligned} \tag{3.28}$$

$$\hat{n} \times \vec{M}_k(\vec{r}') = -\vec{M}_k(\vec{r}') \times \hat{n}, \tag{3.29}$$

$$\int_S \vec{W}_i(\vec{r}) \cdot \nabla \Psi ds = \int_S \nabla \cdot \left[ \Psi \vec{W}_i(\vec{r}) \right] ds - \int_S \Psi \nabla \cdot \vec{W}_i(\vec{r}) ds, \tag{3.30}$$

onde a primeira integral do lado direito da equação (3.30) é igual a zero, como consequência do teorema da divergência bidimensional. As equações (3.25) e (3.26) podem ser expressas por:

$$\begin{aligned}
& \sum_{j=1}^{N_j} I_j \left\{ \frac{j\eta_0}{4\pi k_0} \iint_{s s'} \left[ k_0^2 \vec{W}_i(\vec{r}) \cdot \vec{J}_j(\vec{r}') - (\nabla \cdot \vec{W}_i(\vec{r})) (\nabla' \cdot \vec{J}_j(\vec{r}')) \right] \Psi_0(\vec{r}, \vec{r}') ds' ds \right\} \\
&= \sum_{l=1}^{N_M} M_l \sum_{k=1}^{N_A} B_{lk} \left\{ \frac{1}{4\pi} \iint_{s A'} \vec{W}_i(\vec{r}) \cdot \left[ \vec{M}_k(\vec{r}') \times \nabla' \Psi_0(\vec{r}, \vec{r}') \right] ds' ds \right. \\
&\quad \left. + \frac{1}{2} \int_s \vec{W}_i(\vec{r}) \cdot \left[ \vec{M}_k(\vec{r}) \times \hat{n} \right] ds \right\}, \tag{3.31}
\end{aligned}$$

$$\begin{aligned}
& -\frac{1}{2} \int_A \vec{m}_l \cdot \left[ \hat{n} \times \hat{n} \times \vec{H}^A(\vec{a}^A, \vec{b}^A) \right] ds = \\
& \sum_{j=1}^{N_j} B_{lj} \left\{ \frac{1}{4\pi} \iint_{A s'} \vec{W}_q(\vec{r}) \cdot \left[ \vec{J}_j(\vec{r}') \times \nabla' \Psi_0(\vec{r}, \vec{r}') \right] ds' ds \right\} I_j \\
& + \sum_{l=1}^{N_M} \sum_{k=1}^{N_A} B_{lk} \left\{ \frac{j}{4\pi k_0 \eta_0} \iint_{A A'} \left[ k_0^2 \vec{W}_q(\vec{r}) \cdot \vec{M}_k(\vec{r}') \right. \right. \\
& \quad \left. \left. - (\nabla \cdot \vec{W}_q(\vec{r})) (\nabla' \cdot \vec{M}_k(\vec{r}')) \right] \Psi_0(\vec{r}, \vec{r}') ds' ds \right\} B_{kl} M_l. \tag{3.32}
\end{aligned}$$

Para o campo magnético da abertura  $\vec{H}^A(\vec{a}^A, \vec{b}^A)$  da integral do lado esquerdo da equação (3.32) será feita a expansão modal dada pela equação (2.1), logo, tem-se:

$$\vec{H}^A(\vec{a}^A, \vec{b}^A) = \sum_{l=1}^{N_M} (a_l^A - b_l^A) h_{\phi_l}^{TEM/TM} \hat{i}_\phi = \sum_{l=1}^{N_M} M_l' h_{\phi_l}^{TEM/TM} \hat{i}_\phi, \tag{3.33}$$

onde

$$M_l' = (a_l^A - b_l^A). \tag{3.34}$$

Com dito anteriormente, o vetor unitário normal à abertura será o vetor  $\hat{i}_z$ ,  $\hat{n}_A = \hat{i}_z$ , logo, o produto vetorial da integral do lado esquerdo da equação (3.32) será dado por:

$$\hat{n} \times \hat{n} \times \vec{H}^A(\vec{a}^A, \vec{b}^A) = - \sum_{l=1}^{N_M} M_l' h_{\phi_l}^{TEM/TM} \hat{i}_{\phi}. \quad (3.35)$$

Considerando as equações (3.11) e (3.35), a integral do lado esquerdo da equação (3.32) pode ser expressa por:

$$\begin{aligned} -\frac{1}{2} \int_A \vec{m}_l \cdot \left[ \hat{n} \times \hat{n} \times \vec{H}^A(\vec{a}^A, \vec{b}^A) \right] ds = \\ \sum_{l=1}^{N_M} M_l' \left\{ \frac{1}{2} \int_0^{2\pi} \int_a^b e^{\rho l} h_{\phi l}^{TEM/TM} \rho d\rho d\phi \right\} = \sum_{l=1}^{N_M} M_l' Y_{ll}^{INT}, \end{aligned} \quad (3.36)$$

onde

$$Y_{ll}^{INT} = \frac{1}{2} \int_0^{2\pi} \int_a^b e^{\rho l} h_{\phi l}^{TEM/TM} \rho d\rho d\phi. \quad (3.37)$$

A integral dupla da equação (3.37) é idêntica a integral da matriz  $[R]$  do MMT, resolvida na Seção 2.2.2 e dada pelas equações (2.62) e (2.66) para o modo  $TEM$  e para os modos superiores  $TM$ , respectivamente. Logo, a equação (3.32) pode ser reescrita como:

$$\begin{aligned} \sum_{l=1}^{N_M} M_l' Y_{ll}^{INT} = \sum_{j=1}^{N_J} B_{lq} \left\{ \frac{1}{4\pi} \int_A \int_{A'} \vec{W}_q(\vec{r}) \cdot \left[ \vec{J}_j(\vec{r}') \times \nabla' \Psi_0(\vec{r}, \vec{r}') \right] ds' ds \right\} I_j \\ + \sum_{l=1}^{N_M} \sum_{k=1}^{N_A} B_{lq} \left\{ \frac{j}{4\pi k_0 \eta_0} \int_A \int_{A'} \left[ k_0^2 \vec{W}_q(\vec{r}) \cdot \vec{M}_k(\vec{r}') \right. \right. \\ \left. \left. - (\nabla \cdot \vec{W}_q(\vec{r})) (\nabla' \cdot \vec{M}_k(\vec{r}')) \right] \Psi_0(\vec{r}, \vec{r}') ds' ds \right\} B_{kl} M_l. \end{aligned} \quad (3.38)$$

As equações (3.31) e (3.38) podem ser escritas na forma matricial, aplicando estas equações a cada função de teste,  $\vec{W}_i(\vec{r})$  e  $\vec{W}_q(\vec{r})$  respectivamente, expressas por [39, 88]:

$$\left[ Z^E \right] [I] = \left[ Y^E \right] [B]^T [M], \quad (3.39)$$

$$\left[ Y^{INT} \right] \left[ M' \right] = \left[ B \right] \left[ Z^H \right] \left[ I \right] + \left[ B \right] \left[ Y^H \right] \left[ B \right]^T \left[ M \right]. \quad (3.40)$$

Os elementos da matriz  $\left[ Y^{INT} \right]_{N_M \times N_M}$  são dados em (3.37) e das matrizes  $\left[ Z^E \right]_{N_J \times N_J}$ ,  $\left[ Y^E \right]_{N_J \times N_A}$ ,  $\left[ Z^H \right]_{N_A \times N_J}$  e  $\left[ Y^H \right]_{N_A \times N_A}$  são:

$$\begin{aligned} Z_{ij}^E &= \frac{j\eta_0}{4\pi k_0} \int \int_{s s'} \left[ k_0^2 \vec{W}_i(\vec{r}) \cdot \vec{J}_j(\vec{r}') \right. \\ &\quad \left. - (\nabla \cdot \vec{W}_i(\vec{r})) (\nabla' \cdot \vec{J}_j(\vec{r}')) \right] \Psi_0(\vec{r}, \vec{r}') ds' ds \end{aligned} \quad (3.41)$$

$$\begin{aligned} Y_{ik}^E &= \frac{1}{4\pi} \int \int_{s A'} \vec{W}_i(\vec{r}) \cdot \left[ \vec{M}_k(\vec{r}') \times \nabla' \Psi_0(\vec{r}, \vec{r}') \right] ds' ds \\ &\quad + \frac{1}{2} \int \int_s \vec{W}_i(\vec{r}) \cdot \left[ \vec{M}_k(\vec{r}) \times \hat{n} \right] ds \end{aligned} \quad (3.42)$$

$$Z_{qj}^H = \frac{1}{4\pi} \int \int_{A s'} \vec{W}_q(\vec{r}) \cdot \left[ \vec{J}_j(\vec{r}') \times \nabla' \Psi_0(\vec{r}, \vec{r}') \right] ds' ds \quad (3.43)$$

$$\begin{aligned} Y_{qk}^H &= \frac{j}{4\pi k_0 \eta_0} \int \int_{A A'} \left[ k_0^2 \vec{W}_q(\vec{r}) \cdot \vec{M}_k(\vec{r}') \right. \\ &\quad \left. - (\nabla \cdot \vec{W}_q(\vec{r})) (\nabla' \cdot \vec{M}_k(\vec{r}')) \right] \Psi_0(\vec{r}, \vec{r}') ds' ds \end{aligned} \quad (3.44)$$

O  $j$ -ésimo e  $l$ -ésimo elemento dos vetores  $\left[ I \right]_{N_J}$ ,  $\left[ M \right]_{N_M}$  e  $\left[ M' \right]_{N_M}$ , respectivamente, são os coeficientes desconhecidos determinados no Capítulo 4 através da junção entre o Método do Casamento de Modos (MMT) e do Método dos Momentos (MoM).

### 3.5. Funções de Base e de Teste

Nesta seção será discutida a representação das funções de base e de teste utilizadas pelo Método dos Momentos (MoM). Para garantir a precisão e

convergência da análise numérica apresentada na Seção 3.4, é de primordial importância a escolha adequada das funções de base e de teste. Outro ponto importante nesta escolha é fazê-la de forma que as integrais resultantes sejam simples, facilitando o tratamento das singularidades [40]. Para tal, foram escolhidas funções de base triangulares (FBT) para a representação das correntes superficiais equivalentes elétrica,  $\vec{J}_s(\vec{r}')$ , e magnética,  $\vec{M}_g(\vec{a}^A + \vec{b}^A)$ , expressas por [40, 90]:

$$\vec{J}_s(\vec{r}') = \sum_{j=1}^{N_j} I_j \frac{T_j^t(t')}{\rho'} \hat{t}' \quad (3.45)$$

$$\vec{M}_g(\vec{a}^A + \vec{b}^A) = \sum_{l=1}^{N_M} M_l \sum_{k=1}^{N_A} B_{lk} \frac{T_k^\phi(t')}{\rho'} \hat{\phi}' \quad (3.46)$$

onde  $\hat{t}'$  e  $\hat{\phi}'$  são as direções unitárias no ponto  $\vec{r}'$  sobre a superfície,  $t'$  é a coordenada que localizam o ponto  $\vec{r}'$  sobre a superfície,  $T_j^t(t')$  e  $T_k^\phi(t')$  são as funções triangulares nas direções  $\hat{t}'$  e  $\hat{\phi}'$ , respectivamente,  $I_j$  são os coeficientes complexos desconhecidos associados à função  $T_j^t(t')$ ,  $M_l$  dado pela equação (3.10) são as amplitudes complexas desconhecidas dos modos incidentes e refletidos na abertura associados à função  $T_k^\phi(t')$ , e  $\rho'$  é a distância do ponto  $\vec{r}'$  ao eixo de simetria do BOR. A divisão por  $\rho'$  evita problemas de singularidades no integrando da equação integral quando  $\rho'$  tende a zero [90].

A Figura 3.6 ilustra a representação das funções triangulares ao longo da curva geratriz que define o BOR, onde, cada função de base triangular é definida sobre dois segmentos consecutivos e, como ilustrado na Figura 3.7, cada segmento está associado a dois meios triângulos  $T_j^{iR}$  (meio triângulo à direita da função de base  $T_j^t$ ) e  $T_{j+1}^{iL}$  (meio triângulo à esquerda da função de base  $T_{j+1}^t$ ). Para um determinado segmento fonte os meios triângulos  $T_j^{iR}$  (à direita) e  $T_{j+1}^{iL}$  (à esquerda) possuem derivada negativa e positiva, respectivamente, em relação à variável  $t$ .

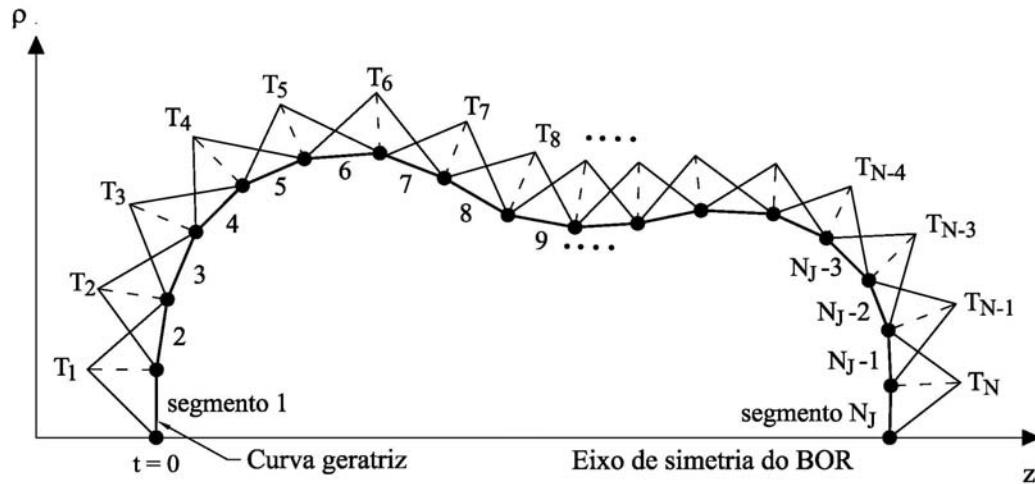


Figura 3.6 – Representação das funções triangulares ao longo da curva geratriz.

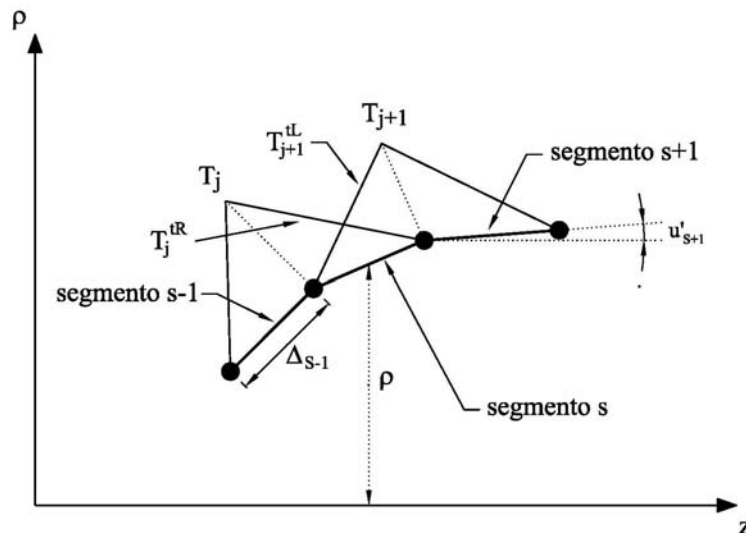


Figura 3.7 – Representação dos meios triângulos.

Este raciocínio foi feito apenas para as funções de base relacionadas à corrente superficial equivalente elétrica  $\vec{J}_s(\vec{r}')$ , no caso das funções de base relacionadas à corrente superficial equivalente magnética  $\vec{M}_g(\vec{a}^A + \vec{b}^A)$  o raciocínio é semelhante. Entretanto, como ilustrado na Figura 3.8, nas bordas da abertura coaxial são considerados apenas meios triângulos, para a correta representação para esta corrente superficial equivalente. A representação das funções de base através de funções triangulares permite expressar os coeficientes da expansão modal  $B_{lk}$  como a amplitude do campo elétrico modal

para o modo  $l$  e elemento  $k$  da abertura, situado a  $\rho_k$  do eixo de simetria do BOR e expresso pelas equações (A.93) e (A.99) para o modo TEM e modos TM, respectivamente (ver Figura 3.8).

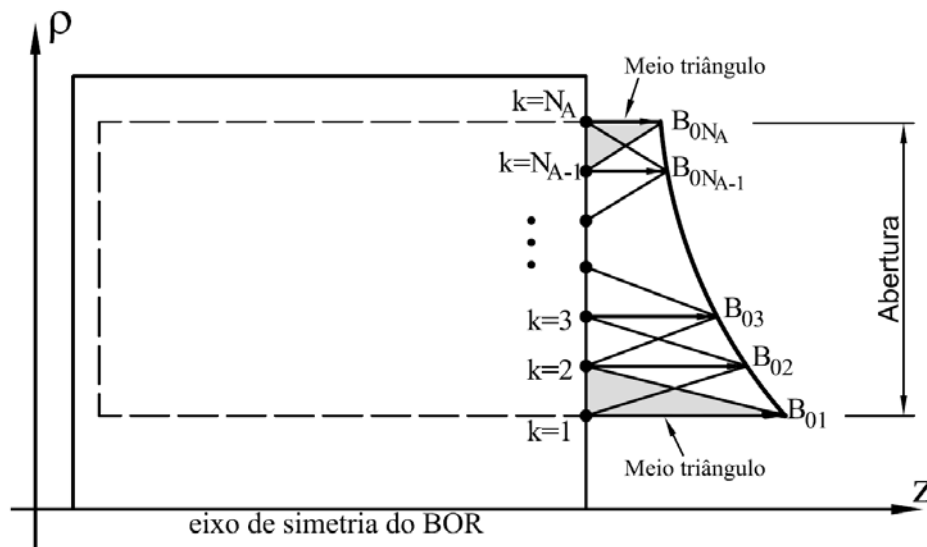


Figura 3.8 – Representação das funções triangulares associadas a corrente superficial equivalente magnética ao longo da abertura e dos coeficientes da expansão modal  $B_{lk}$  para o modo TEM.

Estas funções de base triangulares garantem uma boa representação para as correntes superficiais equivalentes ao longo de toda a superfície do BOR e, em especial, quando uma ou ambas as extremidades da curva geratriz intercepta o eixo de simetria, como ilustrado na Figura 3.6. Quando isto ocorre, os segmentos da curva geratriz do BOR que tocam o eixo de simetria possuem somente um meio triângulo nas direções  $\hat{t}'$  e  $\hat{\phi}'$ , permitindo a representação correta da corrente nesta região, evitando problemas de singularidades quando  $\rho'$  tende a zero [90]. Para o caso de uma superfície aberta, o segmento da extremidade da geratriz do BOR que não intercepta o eixo de simetria possui todos os meios triângulos na direção  $\hat{\phi}'$  e somente o meio triângulo da esquerda na direção  $\hat{t}'$ . Isto garante a descrição correta das correntes na borda do BOR, onde a corrente na direção  $\hat{t}'$  tende a zero e na direção  $\hat{\phi}'$  tende para um valor finito. Outra vantagem, muito importante, na utilização das FBT é que as equações integrais resultantes possuem um tratamento de singularidades

relativamente simples, onde estas singularidades são da ordem de  $1/R$ ,  $1/(R\rho)$ ,  $1/(R\rho')$ ,  $1/(R\rho\rho')$  e  $1/R^3$ , sendo  $R$  a distância do ponto de observação ao eixo de simetria.

O método de Galerkin é utilizado na representação das funções de teste relacionadas às correntes superficiais equivalentes elétrica  $\vec{J}_s(\vec{r}')$  e magnética  $\vec{M}_g(\vec{a}^A + \vec{b}^A)$ . A utilização desta técnica, geralmente, garante maior precisão, rapidez e conservação de energia da solução [91], e são expressas por:

$$\vec{W}_i(\vec{r}) = \frac{T_i^t(t)}{\rho} \hat{t}, \quad (3.47)$$

$$\vec{m}_l = \sum_{q=1}^{N_A} B_{lq} \frac{T_q^\phi(t)}{\rho} \hat{\phi}, \quad (3.48)$$

onde  $\hat{t}$  e  $\hat{\phi}$  são as direções unitárias no ponto  $\vec{r}$  sobre a superfície,  $t$  é a coordenada que localizam o ponto  $\vec{r}$  sobre a superfície,  $T_i^t(t)$  e  $T_q^\phi(t)$  são as funções triangulares nas direções  $\hat{t}$  e  $\hat{\phi}$ , respectivamente, e  $\rho$  é a distância do ponto  $\vec{r}$  ao eixo de simetria do BOR. Como mencionado anteriormente, a divisão por  $\rho$  evita problemas de singularidades no integrando da equação integral quando  $\rho$  tende a zero.

Utilizando as funções de teste e de base dadas nas equações (3.45), (3.46), (3.47) e (3.48), os elementos das matrizes impedância e admitância expressos nas equações (3.41), (3.42), (3.43) e (3.44) podem ser reescritos como:

$$Z_{ij}^E = \frac{j\eta_0}{4\pi k_0} \int_s \int_{s'} \left[ k_0^2 \frac{T_i(t)}{\rho} \frac{T_j(t')}{\rho'} \hat{t} \cdot \hat{t}' - \left( \nabla \cdot \frac{T_i(t)}{\rho} \hat{t} \right) \left( \nabla' \cdot \frac{T_j(t')}{\rho'} \hat{t}' \right) \right] \Psi_0(\vec{r}, \vec{r}') ds' ds, \quad (3.49)$$

$$Y_{ik}^E = \frac{1}{4\pi} \int_{s'} \int_s \frac{T_i(t)}{\rho} \frac{T_k(t')}{\rho'} \hat{t} \cdot \left[ \hat{\phi}' \times \nabla' \Psi_0(\vec{r}, \vec{r}') \right] ds' ds + \frac{1}{2} \int_s \frac{T_i(t)}{\rho} \frac{T_k(t)}{\rho} \hat{t} \cdot \left[ (\hat{\phi} \times \hat{n}) \right] ds, \quad (3.50)$$

$$Z_{ij}^H = \frac{1}{4\pi} \iint_{A A'} \frac{T_i(t)}{\rho} \frac{T_j(t')}{\rho'} \hat{\phi} \cdot [\hat{t}' \times \nabla' \Psi_0(\vec{r}, \vec{r}')] ds' ds, \quad (3.51)$$

$$Y_{jk}^H = \frac{j}{4\pi k \eta_0} \iint_{A A'} \left[ k_0^2 \frac{T_j(t)}{\rho} \frac{T_k(t')}{\rho'} \hat{\phi} \cdot \hat{\phi}' - \left( \nabla \cdot \frac{T_j(t)}{\rho} \hat{\phi} \right) \left( \nabla' \cdot \frac{T_k(t')}{\rho'} \hat{\phi}' \right) \right] \Psi_0(\vec{r}, \vec{r}') ds' ds. \quad (3.52)$$

### 3.6.

#### Avaliação Numérica das Matrizes Impedância e Admitância

Definidas as funções de base e de testes na Seção 3.5, as matrizes impedância e admitância das equações integrais de campo elétrico e magnético, dadas pelas equações (3.49)-(3.52), são avaliadas numericamente de forma semelhante ao procedimento dado em [40, 90]. Considerado o sistema de coordenadas definido na Figura 3.2, onde

$$ds = \rho dt d\phi, \quad (3.53)$$

$$ds' = \rho' dt' d\phi', \quad (3.54)$$

e utilizando as relações

$$\hat{t} = \text{senu} \cos\phi \hat{i}_x + \text{senu} \sin\phi \hat{i}_y + \text{cosu} \hat{i}_z, \quad (3.55)$$

$$\hat{t}' = \text{senu}' \cos\phi' \hat{i}_x + \text{senu}' \sin\phi' \hat{i}_y + \text{cosu}' \hat{i}_z, \quad (3.56)$$

$$\hat{\phi} = -\text{sen}\phi \hat{i}_x + \text{cos}\phi \hat{i}_y, \quad (3.57)$$

$$\hat{\phi}' = -\text{sen}\phi' \hat{i}_x + \text{cos}\phi' \hat{i}_y, \quad (3.58)$$

$$\hat{t} \cdot \hat{t}' = \text{senu} \text{senu}' \cos(\phi - \phi') + \text{cosu} \text{cosu}', \quad (3.59)$$

$$\hat{\phi} \cdot \hat{\phi}' = \cos(\phi - \phi'), \quad (3.60)$$

$$\nabla \cdot \frac{T_i(t)}{\rho} \hat{t} = \frac{1}{\rho} \frac{\partial}{\partial t} \left( \rho \frac{T_i(t)}{\rho} \right) = \frac{1}{\rho} \frac{\partial (T_i(t))}{\partial t}, \quad (3.61)$$

$$\nabla' \cdot \frac{T_j(t')}{\rho'} \hat{t}' = \frac{1}{\rho'} \frac{\partial}{\partial t'} \left( \rho' \frac{T_j(t')}{\rho'} \right) = \frac{1}{\rho'} \frac{\partial (T_j(t'))}{\partial t'}, \quad (3.62)$$

$$\nabla \cdot \frac{T_q(t)}{\rho} \hat{\phi} = \frac{1}{\rho} \frac{\partial}{\partial \phi} \left( \frac{T_q(t)}{\rho} \right) = 0, \quad (3.63)$$

$$\nabla' \cdot \frac{T_k(t')}{\rho'} \hat{\phi}' = \frac{1}{\rho'} \frac{\partial}{\partial \phi'} \left( \frac{T_k(t')}{\rho'} \right) = 0, \quad (3.64)$$

Os elementos das matrizes impedância das equações integrais de campo elétrico e magnético  $Z_{ij}^E$  e  $Y_{qk}^H$ , respectivamente, dadas pelas equações (3.49) e (3.52), são reescritos como:

$$Z_{ij}^E = \frac{j\eta_0}{4\pi} \int_0^{2\pi} \int_0^{2\pi} \int_0^{2\pi} \int_0^{2\pi} \left\{ k_0^2 T_i(t) T_j(t') \left[ \text{senu senu}' \cos(\phi - \phi') + \text{cosu cosu}' \right] \right. \\ \left. - \frac{\partial(T_i(t))}{\partial t} \frac{\partial(T_j(t'))}{\partial t'} \right\} G_E dt' d\phi' dt d\phi, \quad (3.65)$$

$$Y_{qk}^H = \frac{j}{4\pi\eta_0} \int_0^{2\pi} \int_0^{2\pi} \int_0^{2\pi} \int_0^{2\pi} \left\{ k_0^2 T_q(t) T_k(t') \cos(\phi - \phi') \right\} G_E dt' d\phi' dt d\phi, \quad (3.66)$$

sendo:

$$G_E = \frac{e^{-iK_0 R}}{K_0 R}, \quad (3.67)$$

onde

$$R = |\vec{r} - \vec{r}'| = \sqrt{(\rho - \rho')^2 + (z - z')^2 + 4\rho\rho' \sin^2\left(\frac{\phi - \phi'}{2}\right)}. \quad (3.68)$$

Para os elementos das matrizes admitância das equações integrais de campo elétrico e magnético,  $Y_{ik}^E$  e  $Z_{qj}^H$  respectivamente, considerando as equações (3.53), (3.54), (3.55), (3.56), (3.57) e (3.58), e sendo

$$\hat{\phi} \times \hat{n} = -\hat{t} \quad (3.69)$$

e

$$\nabla' \Psi_0(\vec{r}, \vec{r}') = \frac{\Psi_0(\vec{r}, \vec{r}')}{R} \left[ iK_0 + \frac{1}{R} \right] \vec{R} = K_0^3 \left[ \frac{1 + iK_0 R}{(K_0 R)^2} \right] \frac{e^{-iK_0 R}}{(K_0 R)} \vec{R} = K_0^3 G_H \vec{R}, \quad (3.70)$$

onde

$$G_H = \left[ \frac{1 + iK_0 R}{(K_0 R)^2} \right] \frac{e^{-iK_0 R}}{(K_0 R)}, \quad (3.71)$$

$$\vec{R} = [\rho \cos \phi - \rho' \cos \phi'] \hat{i}_x + [\rho \sin \phi - \rho' \sin \phi'] \hat{i}_y + [z - z'] \hat{i}_z, \quad (3.72)$$

$$\hat{t} \cdot [\hat{\phi}' \times \vec{R}] = \cos(\phi - \phi') [\text{senu}(z - z') - \rho \cos u] + \rho' \cos u, \quad (3.73)$$

$$\hat{\phi} \cdot [\hat{t}' \times \vec{R}] = -(z - z') \text{senu}' \cos(\phi - \phi') + \cos u' [\rho - \rho' \cos(\phi - \phi')]. \quad (3.74)$$

As equações (3.50) e (3.51) são reescritas como:

$$Y_{ik}^E = -\pi F_{ik} + \frac{K_0^3}{4\pi} \int_0^{2\pi} \int_0^{2\pi} \int_0^{2\pi} T_i(t) T_k(t') \{ \cos u [\rho' - \rho \cos(\phi - \phi')] + (z - z') \text{senu} \cos(\phi - \phi') \} G_H dt' d\phi' dt d\phi, \quad (3.75)$$

$$Z_{qj}^H = \frac{K_0^3}{4\pi} \int_0^{2\pi} \int_0^{2\pi} \int_0^{2\pi} T_q(t) T_j(t') \{ -(z - z') \text{senu}' \cos(\phi - \phi') + \cos u' [\rho - \rho' \cos(\phi - \phi')] \} G_H dt' d\phi' dt d\phi, \quad (3.76)$$

onde  $G_H$  é dado em (3.71) e

$$F_{ik} = \int_t \frac{T_i(t) T_k(t)}{\rho} dt. \quad (3.77)$$

Aplicando a transformação de variáveis:

$$\phi'' = \phi' - \phi, \quad (3.78)$$

$$d\phi'' = d\phi'. \quad (3.79)$$

Esta transformação elimina a dependência do integrando em relação à  $\phi$ , o que permite a solução direta dessa integral. Com relação à  $\phi''$ , o integrando é

simétrico e os valores para  $\phi''$  são iguais aos valores para  $-\phi''$ . Logo, os elementos das matrizes impedância, equações (3.65) e (3.66), e admitância, equações (3.75) e (3.76), podem ser reescritas como:

$$Z_{ij}^E = j\eta_0 \int \int_{t \ t'} \left\{ k_0^2 T_i(t) T_j(t') [\text{senu} \text{senu}' G_1 + \text{cosu} \text{cosu}' G_2] - \frac{\partial(T_i(t))}{\partial t} \frac{\partial(T_j(t'))}{\partial t'} G_2 \right\} dt' dt, \quad (3.80)$$

$$Y_{qk}^H = \frac{j}{\eta_0} \int \int_{t \ t'} k_0^2 T_q(t) T_k(t') G_1 dt' dt, \quad (3.81)$$

$$Y_{ik}^E = -\pi F_{ik} + K_0^3 \int \int_{t \ t'} T_i(t) T_k(t') \{ \rho' \text{cosu} G_3 - [(\rho - \rho') \text{cosu} - \text{senu}(z - z')] G_4 \} dt' dt, \quad (3.82)$$

$$Z_{qj}^H = K_0^3 \int \int_{t \ t'} T_q(t) T_j(t') \{ \rho \text{cosu}' G_3 + [(\rho - \rho') \text{cosu}' - \text{senu}'(z - z')] G_4 \} dt' dt, \quad (3.83)$$

onde

$$G_1(t, t') = \int_0^\pi \cos \phi'' G_E d\phi'', \quad (3.84)$$

$$G_2(t, t') = \int_0^\pi G_E d\phi'', \quad (3.85)$$

$$G_3(t, t') = \int_0^\pi (1 - \cos \phi'') G_H d\phi'', \quad (3.86)$$

$$G_4(t, t') = \int_0^\pi \cos \phi'' G_H d\phi'', \quad (3.87)$$

$$R = \sqrt{(\rho - \rho')^2 + (z - z')^2 + 4\rho\rho' \text{sen}^2\left(\frac{\phi''}{2}\right)}. \quad (3.88)$$

Para a solução das integrais em  $t$  e  $t'$ , estas coordenadas serão parametrizadas em função de  $\alpha$  e  $\alpha'$ , respectivamente, da seguinte forma:

$$t = \begin{cases} t_{i-1} + \alpha \Delta t_i, & \text{para } T_i^{iL} \\ t_i + \alpha \Delta t_{i+1}, & \text{para } T_i^{iR} \end{cases} \quad (3.89)$$

$$t' = \begin{cases} t'_{j-1} + \alpha' \Delta t'_j, & \text{para } T_j^{jL} \\ t'_j + \alpha' \Delta t'_{j+1}, & \text{para } T_j^{jR} \end{cases} \quad (3.90)$$

onde  $t_{i-1}$  e  $t'_{j-1}$  ( $t_i$  e  $t'_j$ ) são os pontos iniciais dos elementos das funções triangulares de teste e de base de tamanho  $\Delta t_i$  e  $\Delta t'_j$  ( $\Delta t_{i+1}$  e  $\Delta t'_{j+1}$ ), respectivamente, como ilustrado na Figura 3.7. Utilizando os parâmetros  $\alpha$ ,  $\alpha'$  e a definição das funções triangulares ilustrada nas Figuras 3.6 a 3.8, as funções  $T_i(t)$ ,  $T_j(t')$ , suas derivadas em cada segmento e as coordenadas  $\rho$ ,  $\rho'$ ,  $z$  e  $z'$  são representadas por:

$$T_i(t) = \begin{cases} \alpha, & \text{para } T_i^{iL}, \text{ logo } \begin{cases} \rho = \rho_{i-1} + \alpha \Delta \rho_i \\ z = z_{i-1} + \alpha \Delta z_i \end{cases} \\ 1 - \alpha, & \text{para } T_i^{iR}, \text{ logo } \begin{cases} \rho = \rho_i + \alpha \Delta \rho_{i+1} \\ z = z_i + \alpha \Delta z_{i+1} \end{cases} \end{cases} \quad (3.91)$$

$$T_j(t') = \begin{cases} \alpha', & \text{para } T_j^{jL}, \text{ logo } \begin{cases} \rho' = \rho'_{j-1} + \alpha' \Delta \rho'_j \\ z' = z'_{j-1} + \alpha' \Delta z'_j \end{cases} \\ 1 - \alpha', & \text{para } T_j^{jR}, \text{ logo } \begin{cases} \rho' = \rho'_j + \alpha' \Delta \rho'_{j+1} \\ z' = z'_j + \alpha' \Delta z'_{j+1} \end{cases} \end{cases} \quad (3.92)$$

$$\frac{\partial(T_i(t))}{\partial t} = \begin{cases} \frac{1}{\Delta t_i}, & \text{para } T_i^{iL} \\ -\frac{1}{\Delta t_{i+1}}, & \text{para } T_i^{iR} \end{cases} \quad (3.93)$$

$$\frac{\partial(T_j(t'))}{\partial t'} = \begin{cases} \frac{1}{\Delta t'_j}, & \text{para } T_j^{jL} \\ -\frac{1}{\Delta t'_{j+1}}, & \text{para } T_j^{jR} \end{cases} \quad (3.94)$$

Utilizando as equações (3.89)-(3.92), e após algumas manipulações algébricas, as equações (3.80)-(3.83) são reescritas como:

$$\begin{aligned}
Z_{ij}^E = & j\eta_0 k_0^2 \left\{ G_{00}^1 \left[ \Delta t_{i+1} \Delta t'_{j+1} \text{senu}_R \text{senu}'_R \right] \right. \\
& + G_{01}^1 \left[ \Delta t_{i+1} \text{senu}_R \left( \Delta t'_j \text{senu}'_L - \Delta t'_{j+1} \text{senu}'_R \right) \right] \\
& + G_{10}^1 \left[ \Delta t'_{j+1} \text{senu}'_R \left( \Delta t_i \text{senu}_L - \Delta t_{i+1} \text{senu}_R \right) \right] \\
& + G_{11}^1 \left[ \left( \Delta t_i \text{senu}_L - \Delta t_{i+1} \text{senu}_R \right) \left( \Delta t'_j \text{senu}'_L - \Delta t'_{j+1} \text{senu}'_R \right) \right] \\
& \quad + G_{00}^2 \left[ \Delta t_{i+1} \Delta t'_{j+1} \cos u_R \cos u'_R \right] \\
& + G_{01}^2 \left[ \Delta t_{i+1} \cos u_R \left( \Delta t'_j \cos u'_L - \Delta t'_{j+1} \cos u'_R \right) \right] \\
& + G_{10}^2 \left[ \Delta t'_{j+1} \cos u'_R \left( \Delta t_i \cos u_L - \Delta t_{i+1} \cos u_R \right) \right] \\
& \left. + G_{11}^2 \left[ \left( \Delta t_i \cos u_L - \Delta t_{i+1} \cos u_R \right) \left( \Delta t'_j \cos u'_L - \Delta t'_{j+1} \cos u'_R \right) \right] \right\}, \tag{3.95}
\end{aligned}$$

$$\begin{aligned}
Y_{qk}^H = & \frac{jk_0^2}{\eta_0} \left\{ G_{00}^1 \Delta t_{i+1} \Delta t'_{j+1} + G_{01}^1 \Delta t_{i+1} \left( \Delta t'_j - \Delta t'_{j+1} \right) \right. \\
& \left. + G_{10}^1 \Delta t'_{j+1} \left( \Delta t_i - \Delta t_{i+1} \right) + G_{11}^1 \left( \Delta t_i - \Delta t_{i+1} \right) \left( \Delta t'_j - \Delta t'_{j+1} \right) \right\}, \tag{3.96}
\end{aligned}$$

$$\begin{aligned}
Y_{ik}^E = & -\pi G_F + k_0^3 \left\{ \Delta t_i \cos u_L \left\{ \Delta t'_k \left[ \rho'_{k-1} \left( G_{11}^3 + G_{11}^4 \right) + \Delta \rho'_k \left( G_{12}^3 - G_{12}^4 \right) - \rho_{i-1} G_{11}^4 \right. \right. \right. \\
& \left. \left. - \Delta \rho_i G_{21}^4 \right] + \Delta t'_{k+1} \left[ \rho'_k \left( G_{10}^3 - G_{11}^3 + G_{10}^4 - G_{11}^4 \right) + \Delta \rho'_{k+1} \left( G_{11}^3 - G_{12}^3 - G_{11}^4 + G_{12}^4 \right) \right. \right. \\
& \left. \left. - \rho_{i-1} \left( G_{10}^4 + G_{11}^4 \right) - \Delta \rho_i \left( G_{20}^4 + G_{21}^4 \right) \right] \right\} + \Delta t_i \text{senu}_L \left\{ \Delta t'_k \left[ \left( z_{i-1} - z'_{k-1} \right) G_{11}^4 + \Delta z'_k G_{12}^4 \right. \right. \\
& \left. \left. + \Delta z_i G_{21}^4 \right] + \Delta t'_{k+1} \left[ \Delta z'_{k+1} \left( G_{11}^4 - G_{12}^4 \right) + \Delta z_i \left( G_{20}^4 - G_{21}^4 \right) + \left( z_{i-1} v \right) \left( G_{10}^4 - G_{11}^4 \right) \right] \right\} \\
& + \Delta t_{i+1} \cos u_R \left\{ \Delta t'_k \left[ \rho'_{k-1} \left( G_{01}^3 - G_{11}^3 + G_{01}^4 - G_{11}^4 \right) + \Delta \rho'_k \left( G_{02}^3 - G_{12}^3 - G_{02}^4 + G_{12}^4 \right) \right. \right. \\
& \left. \left. - \Delta \rho_{i+1} \left( G_{11}^4 - G_{21}^4 \right) - \rho_i \left( G_{00}^4 - G_{01}^4 \right) \right] + \Delta t'_{k+1} \left[ -\rho_i \left( G_{00}^4 - G_{01}^4 - G_{10}^4 + G_{11}^4 \right) \right. \right. \\
& \left. \left. \rho'_k \left( G_{00}^3 - G_{01}^3 - G_{10}^3 + G_{11}^3 + G_{00}^4 - G_{01}^4 - G_{10}^4 + G_{11}^4 \right) - \Delta \rho_{i+1} \left( G_{10}^4 - G_{11}^4 - G_{20}^4 + G_{21}^4 \right) \right. \right. \\
& \left. \left. + \Delta \rho'_{k+1} \left( G_{01}^3 - G_{02}^3 - G_{11}^3 + G_{12}^3 - G_{01}^4 + G_{02}^4 + G_{11}^4 - G_{12}^4 \right) \right] \right\} \\
& + \Delta t_{i+1} \text{senu}_R \left\{ \Delta t'_k \left[ \Delta z'_k \left( G_{02}^4 - G_{12}^4 \right) + \Delta z_{i+1} \left( G_{11}^4 - G_{21}^4 \right) + \left( z_i - z'_{k-1} \right) \left( G_{01}^4 - G_{11}^4 \right) \right] \right. \\
& \left. + \Delta t'_{k+1} \left[ \Delta z'_{k+1} \left( G_{01}^4 - G_{02}^4 - G_{11}^4 + G_{12}^4 \right) + \Delta z_{i+1} \left( G_{10}^4 - G_{11}^4 - G_{20}^4 + G_{21}^4 \right) \right. \right. \\
& \left. \left. + \left( z_i - z'_k \right) \left( G_{00}^4 - G_{01}^4 - G_{10}^4 + G_{11}^4 \right) \right] \right\}, \tag{3.97}
\end{aligned}$$

$$\begin{aligned}
Z_{qj}^H = k_0^3 & \left\{ \Delta t'_j \cos u'_L \left\{ \Delta t'_q \left[ \rho_{q-1} (G_{11}^3 + G_{11}^4) + \Delta \rho_q (G_{21}^3 + G_{21}^4) + \rho_{q-1} G_{11}^4 - \Delta \rho'_j G_{12}^4 \right] \right. \right. \\
& + \Delta t'_{q+1} \left[ \rho_q (G_{01}^3 - G_{11}^3 + G_{01}^4 - G_{11}^4) + \Delta \rho_{q+1} (G_{11}^3 - G_{21}^3 + G_{11}^4 - G_{21}^4) \right. \\
& \left. \left. - \rho'_{j-1} (G_{01}^4 + G_{11}^4) - \Delta \rho'_j (G_{02}^4 + G_{12}^4) \right] \right\} - \Delta t'_j \operatorname{senu}'_L \left\{ \Delta t'_q \left[ (z_{q-1} - z'_{j-1}) G_{11}^4 \right. \right. \\
& + \Delta z_q G_{21}^4 - \Delta z'_j G_{12}^4 \left. \right] + \Delta t'_{q+1} \left[ \Delta z_{q+1} (G_{11}^4 - G_{21}^4) + (z_q - z'_{j-1}) (G_{01}^4 + G_{11}^4) \right. \\
& \left. \left. - \Delta z'_j (G_{02}^4 + G_{12}^4) \right] \right\} + \Delta t'_{j+1} \cos u'_R \left\{ \Delta t'_q \left[ \rho_{q-1} (G_{10}^3 - G_{11}^3 + G_{10}^4 - G_{11}^4) \right. \right. \\
& + \Delta \rho_q (G_{20}^3 - G_{21}^3 + G_{20}^4 - G_{21}^4) - \rho'_j (G_{10}^4 - G_{11}^4) - \Delta \rho'_{j+1} (G_{11}^4 - G_{12}^4) \left. \right] \\
& + \Delta t'_{q+1} \left[ \rho_q (G_{00}^3 - G_{01}^3 - G_{10}^3 + G_{11}^3 + G_{00}^4 - G_{01}^4 - G_{10}^4 + G_{11}^4) \right. \\
& + \Delta \rho_{q+1} (G_{10}^3 - G_{11}^3 - G_{20}^3 + G_{21}^3 + G_{10}^4 - G_{11}^4 - G_{20}^4 + G_{21}^4) \\
& \left. \left. - \rho'_j (G_{00}^4 - G_{01}^4 - G_{10}^4 + G_{11}^4) - \Delta \rho'_{j+1} (G_{01}^4 - G_{02}^4 - G_{11}^4 + G_{12}^4) \right] \right\} \\
& - \Delta t'_{j+1} \operatorname{senu}'_R \left\{ \Delta t'_q \left[ \Delta z_q (G_{20}^4 - G_{21}^4) - \Delta z'_{j+1} (G_{11}^4 - G_{12}^4) + (z_{q-1} - z'_j) (G_{10}^4 - G_{11}^4) \right] \right. \\
& + \Delta t'_{q+1} \left[ \Delta z_{q+1} (G_{10}^4 - G_{11}^4 - G_{20}^4 + G_{21}^4) - \Delta z'_{j+1} (G_{01}^4 - G_{02}^4 - G_{11}^4 + G_{12}^4) \right. \\
& \left. \left. + (z_q - z'_j) (G_{00}^4 - G_{01}^4 - G_{10}^4 + G_{11}^4) \right] \right\},
\end{aligned} \tag{3.98}$$

onde

$$G_{00}^v(t, t') = \int_0^1 \int_0^1 G_v(t, t') d\alpha' d\alpha \quad v = 1, 2, 3 \text{ e } 4 \tag{3.99}$$

$$G_{01}^v(t, t') = \int_0^1 \int_0^1 \alpha' G_v(t, t') d\alpha' d\alpha \quad v = 1, 2, 3 \text{ e } 4 \tag{3.100}$$

$$G_{02}^v(t, t') = \int_0^1 \int_0^1 \alpha'^2 G_v(t, t') d\alpha' d\alpha \quad v = 1, 2, 3 \text{ e } 4 \tag{3.101}$$

$$G_{10}^v(t, t') = \int_0^1 \int_0^1 \alpha G_v(t, t') d\alpha' d\alpha \quad v = 1, 2, 3 \text{ e } 4 \tag{3.102}$$

$$G_{20}^v(t, t') = \int_0^1 \int_0^1 \alpha^2 G_v(t, t') d\alpha' d\alpha \quad v = 1, 2, 3 \text{ e } 4 \tag{3.103}$$

$$G_{11}^v(t, t') = \int_0^1 \int_0^1 \alpha \alpha' G_v(t, t') d\alpha' d\alpha \quad v = 1, 2, 3 \text{ e } 4 \tag{3.104}$$

$$G_{12}^v(t, t') = \int_0^1 \int_0^1 \alpha \alpha'^2 G_v(t, t') d\alpha' d\alpha \quad v = 1, 2, 3 \text{ e } 4 \tag{3.105}$$

$$G_{21}^v(t, t') = \int_0^1 \int_0^1 \alpha^2 \alpha' G_v(t, t') d\alpha' d\alpha \quad v = 1, 2, 3 \text{ e } 4 \tag{3.106}$$

$$G_F = 2 \left\{ \Delta t_i G_1^{\alpha L} + \Delta t_{i+1} \left[ G_0^{\alpha R} - G_1^{\alpha R} - G_2^{\alpha R} + G_4^{\alpha R} \right] \right\}, \quad (3.107)$$

sendo

$$G_1^{\alpha L} = \int_0^1 \frac{\alpha}{\rho_{i-1} + \alpha \Delta \rho_i} d\alpha, \quad (3.108)$$

$$G_v^{\alpha R} = \int_0^1 \frac{\alpha^v}{\rho_i + \alpha \Delta \rho_{i+1}} d\alpha, \quad v = 0, 1, 2 \text{ e } 4. \quad (3.109)$$

A avaliação numérica e o tratamento das singularidades das integrais das matrizes  $Z$  e  $Y$  são discutidas no Apêndice D.